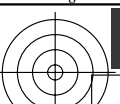
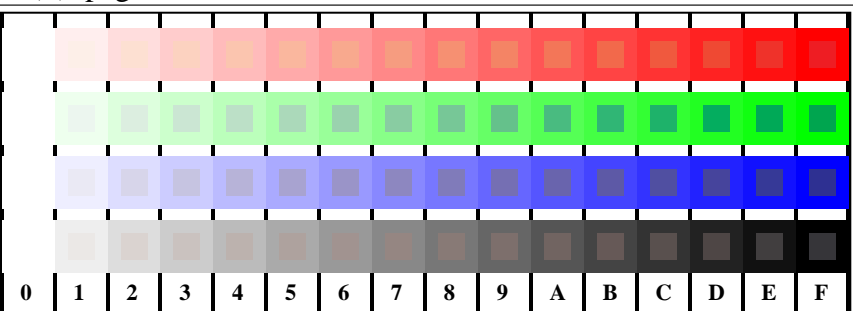


v L o Y M C
 http://130.149.60.45/~farbmefrik/TS85/TS85L0FA.TXT /PS; comience salida
 F: 3D-linealización TS85/TS85LS30FA.DAT en archivo (F), página 1/22



vea archivos semejantes: <http://130.149.60.45/~farbmefrik/TS85/TS85.HTML>
 información técnica: <http://www.ps.bam.de> o <http://130.149.60.45/~farbmefrik>

TS851-1, Fig. D4W-: 16 equidistante pasos W-R_-; W-G_-; W-B_-; W-N; *rgb/cmy0 set(rgb/cmyk)color*

+-.:	lmno	pqr	tuvw
xyz;	hijk	lmno	pqr
tuvw	defg	hijk	lmno
pqrs	!abc	defg	xyz;
lmno	+-.	!abc	tuvw
hijk	xyz;	+-.	defg
defg	tuvw	!abc	!abc
!abc	defg	6	N R_G_B_Z
10	N R_G_B_Z	8	N R_G_B_Z

tuvw
 pqr
 lmno
 hijk
 +-.
 !abc
 xyz;
 defg
 4

N R_G_B_Z

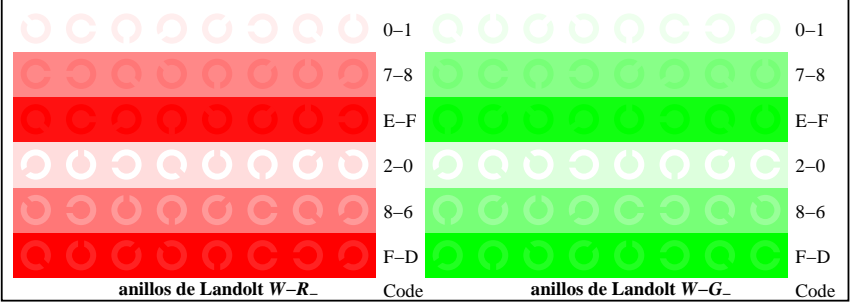
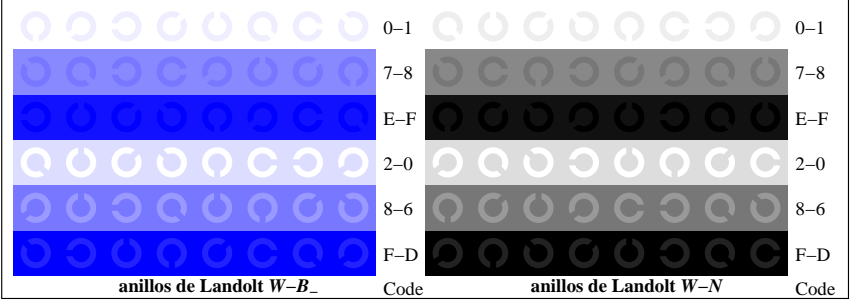
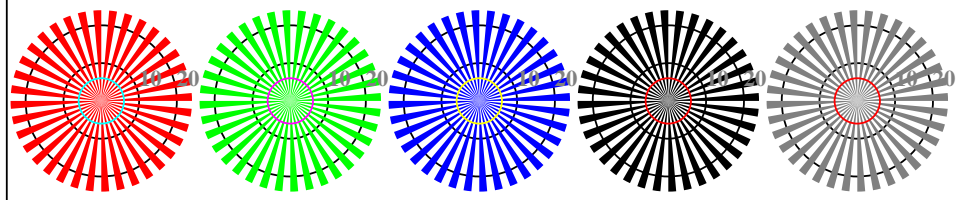
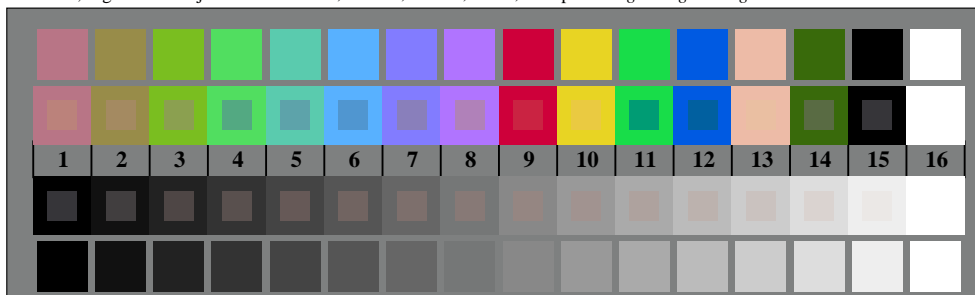
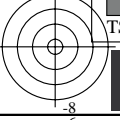
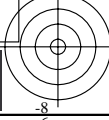
TS851-3, Fig. D5W-: código y Landolt annilosN; R_-; G_-; B_-; Z; PS operator *rgb->rgb_setrgbcolor*TS851-5, Fig. D6W-: anillos de Landolt W-R_-; W-G_-; PS operator *rgb setrgbcolor*TS851-7, Fig. D7W-: anillos de Landolt W-B_-; W-N; PS operator *rgb setrgbcolor*TS850-5, Fig. D2W-: rejillas radial W-R_-; W-G_-; W-B_-; W-N; PS operator *rgb->rgb_setrgbcolor*TS850-7, Fig. D3W-: CIE 14 colores del test y 2 + 16 pasos de gris (sf); *rgb/cmy0 set(rgb/cmyk)color*

gráfico TS85; 4(ISO/IEC 15775 + ISO/IEC TR 24705)
 test cromático gráfico RGB



entrada: *rgb/cmyk -> w/rgb/cmyk_*
 salida: ningún cambio





<http://130.149.60.45/~farbm/TS85/TS85L0FA.TXT> / .PS; 3D-linealización
F: 3D-linealización TS85/TS85LS30FA.DAT en archivo (F), página 2/22

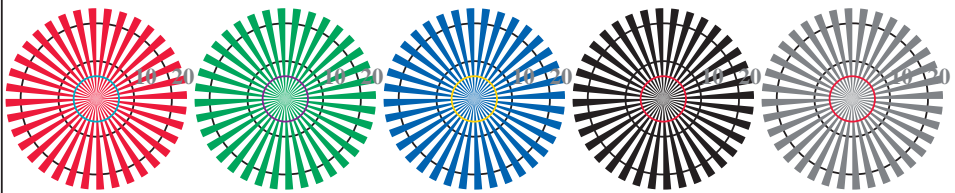
TS8511L



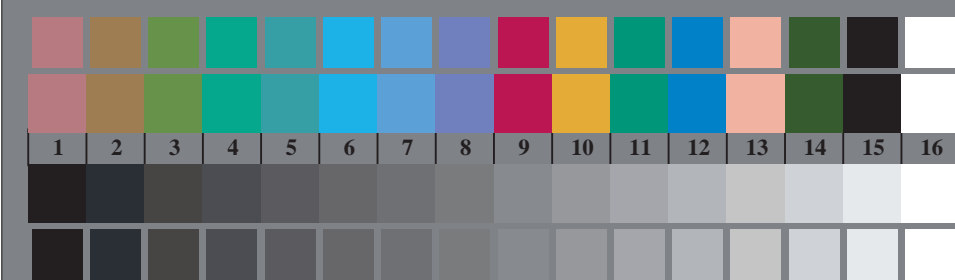
TUB matrícula: 20150701-TS85/TS85L0FA.TXT /PS
aplicación para la medida salida en la impresión offse

TUB material code=rha4ta
iόνcmyn6* (CMYK)

vea archivos semejantes: <http://130.149.60.45/~farbmtrik/TS85/TS85.HTM>
información técnica: <http://www.ps.bam.de> o <http://130.149.60.45/~farbmtrik/>

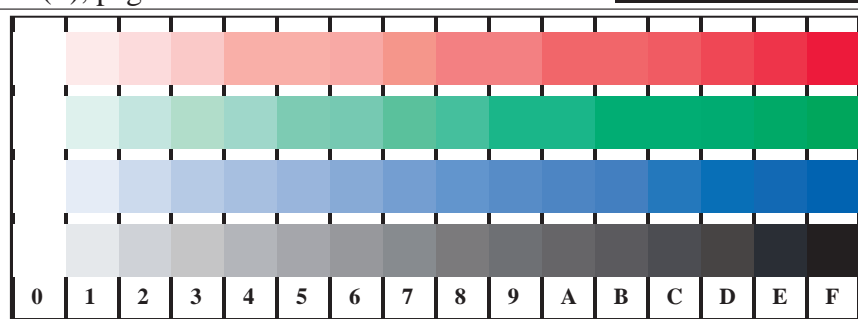


TS850-5, Fig. D2Wde: rejillas radial $W-R_E$; $W-G_E$; $W-B_E$; $W-N$; PS operator $rgb \rightarrow rgb_{de}$ setrgbcolor



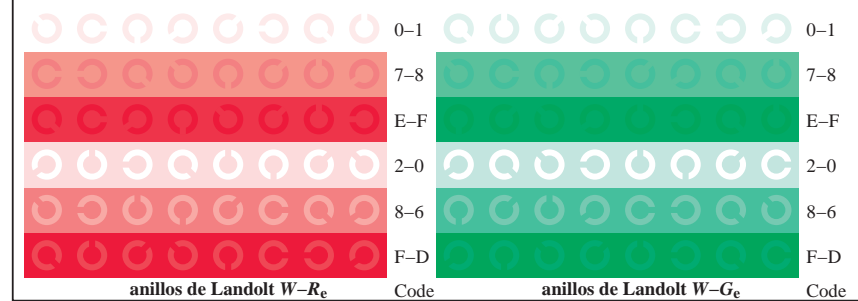
TS850-7 Fig. D3Wde: CIE 14 colores del test y 2 + 16 pasos de gris (sf); $rgb/cmy0 \rightarrow rgh_{+}$, setrgbcolor

gráfico TS85; 4(ISO/IEC 15775 + ISO/IEC TR 24705)
test cromático gráfico *RGB*, 3D=1, de=1, *cmyk**

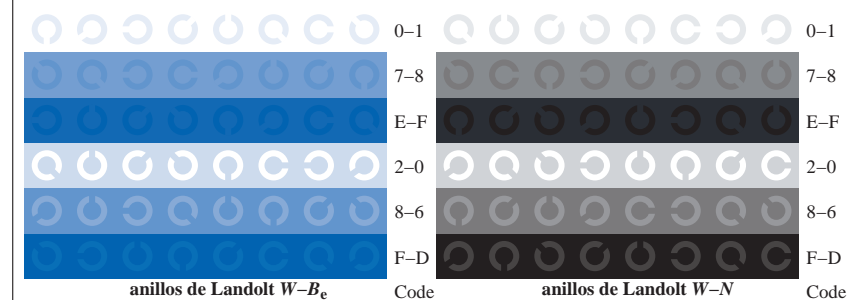


TS851-1, Fig. D4Wde: 16 equidistant pasos $W-R_E$; $W-G_E$; $W-B_E$; $W-N$; $rgb/cmy0 \rightarrow rgb_{de}$ setrgbcolor

TS851-3, Fig. D5Wde: codigo y Landolt annilosN; Re ; G_e ; B_e ; Z ; PS operator $rgb \rightarrow rgb_{de}$ setrgbcolor

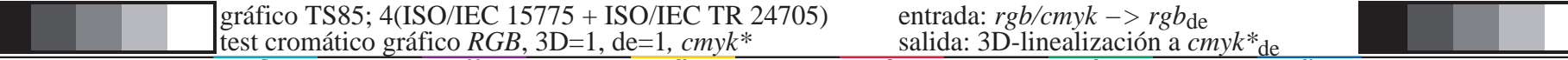


TS851-5, Fig. D6Wde: anillos de Landolt $W-R_E$; $W-G_E$; PS operator $rgb \rightarrow rgb_{de}$ setrgbcolor



TS851-7, Fig. D7Wde: anillos de Landolt $W-B_e$; $W-N$; PS operator $rgb \rightarrow rgb_{de}$ setrgbcolor

Entrada: $rgb/cmyk \rightarrow rgb_{de}$
Salida: 3D-linealización a $cmyk^*_{de}$

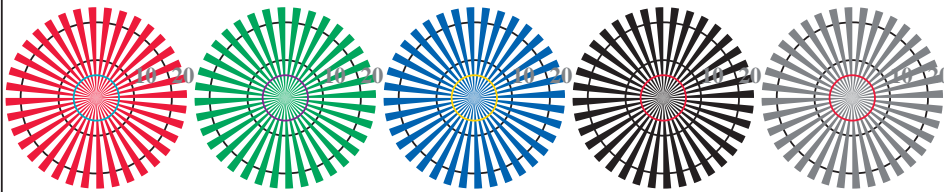




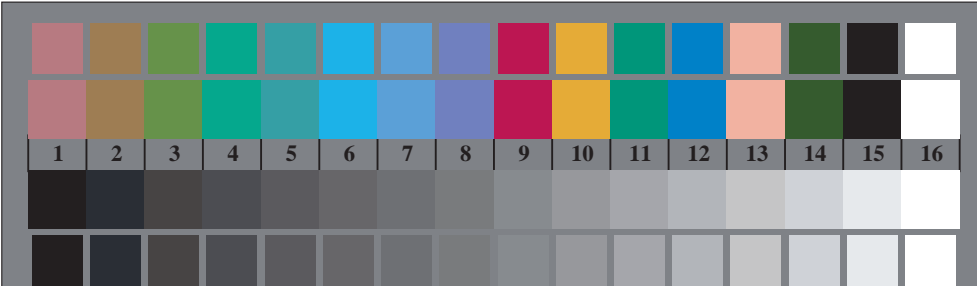
TUB matrícula: 20150701-TS85/TS85L0FA.TXT /PS
 aplicación para la medida salida en la impresión offset, separación cmyn6* (CMYK)

TUB material: code=rha4ta
 TUB material: code=rha4tb

vea archivos semejantes: http://130.149.60.45/~farbmefrik/TS85/TS85.HTML
 información técnica: http://www.ps.bam.de o http://130.149.60.45/~farbmefrik

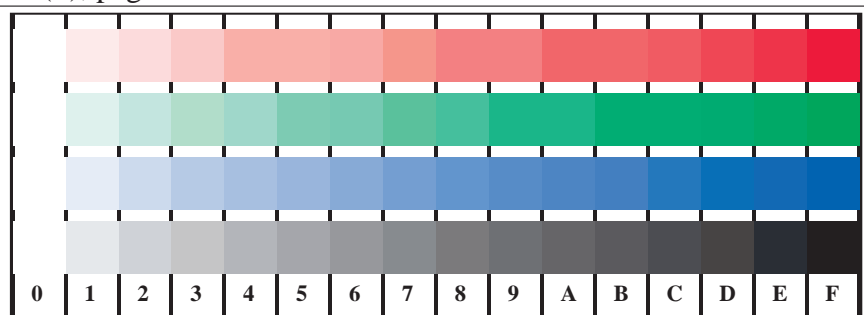


TS850-5, Fig. D2Wde: rejillas radial $W-R_e$; $W-G_e$; $W-B_e$; $W-N$; PS operator $rgb \rightarrow rgb_{de}$ setrgbcolor

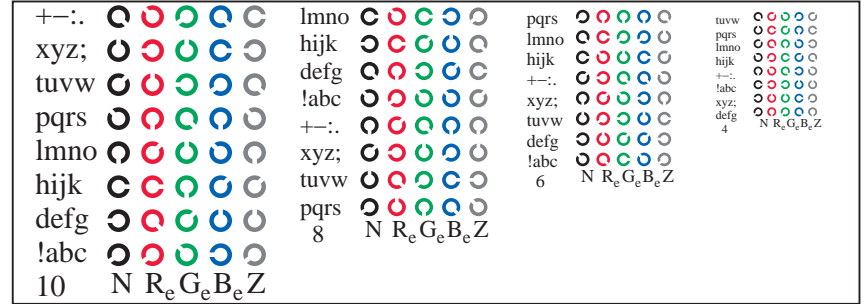


TS850-7, Fig. D3Wde: CIE 14 colores del test y 2 + 16 pasos de gris (sf); $rgb/cmy0 \rightarrow rgb_{de}$ setrgbcolor

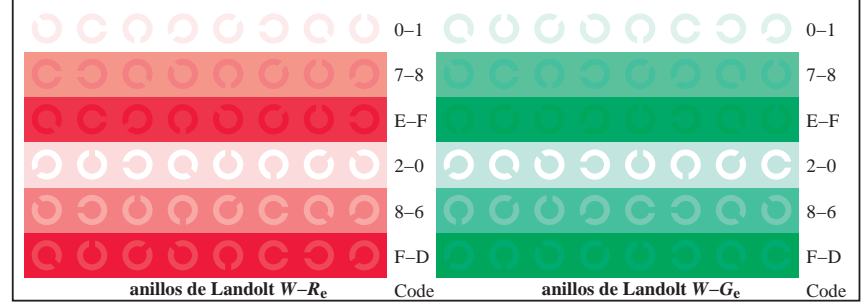
gráfico TS85; 4(ISO/IEC 15775 + ISO/IEC TR 24705)
 test cromático gráfico RGB, 3D=1, de=1, cmyk*



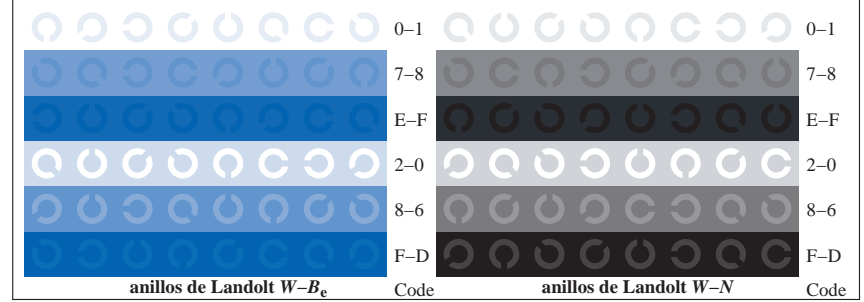
TS851-1, Fig. D4Wde: 16 equidistant pasos $W-R_e$; $W-G_e$; $W-B_e$; $W-N$; $rgb/cmy0 \rightarrow rgb_{de}$ setrgbcolor



TS851-3, Fig. D5Wde: código y Landolt annilosN; R_e ; G_e ; B_e ; Z ; PS operator $rgb \rightarrow rgb_{de}$ setrgbcolor

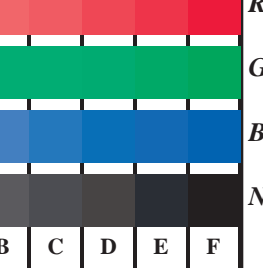


TS851-5, Fig. D6Wde: anillos de Landolt $W-R_e$; $W-G_e$; PS operator $rgb \rightarrow rgb_{de}$ setrgbcolor



TS851-7, Fig. D7Wde: anillos de Landolt $W-B_e$; $W-N$; PS operator $rgb \rightarrow rgb_{de}$ setrgbcolor

entrada: $rgb/cmyk \rightarrow rgb_{de}$
 salida: 3D-linealización a $cmyk^*_{de}$





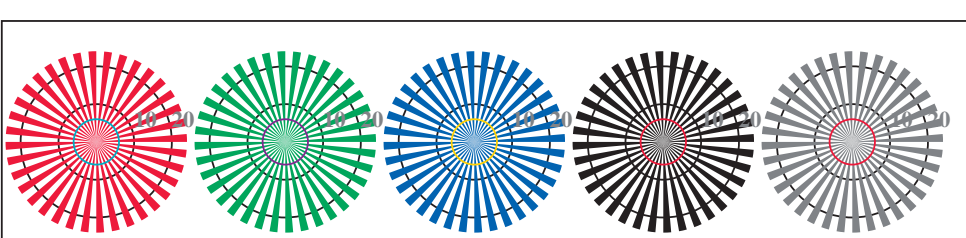
<http://130.149.60.45/~farbmefrik/TS85/TS85L0FA.TXT> / .PS; 3D-linealización
F: 3D-linealización TS85/TS85LS30FA.DAT en archivo (F), página 4/22



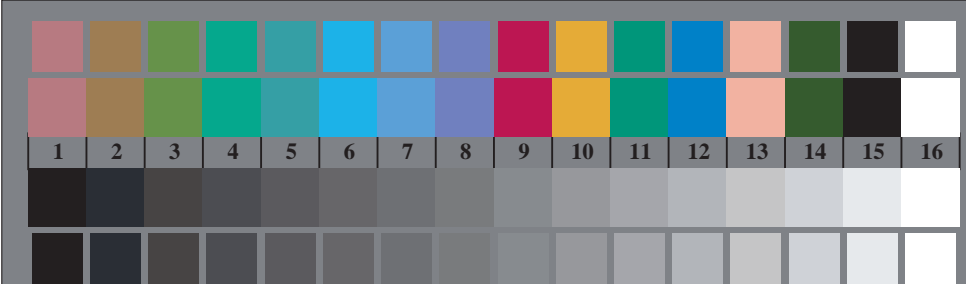
TUB matrícula: 20150701-TS85/TS85L0FA.TXT /PS
aplicación para la medida salida en la impresión offsee

TUB material: code=rha4ta
iōncmyn6* (CMYK)

vea archivos semejantes: <http://130.149.60.45/~farbmefrik/TS85/TS85.HTM>
información técnica: <http://www.ps.bam.de> o <http://130.149.60.45/~farbmefrikk>

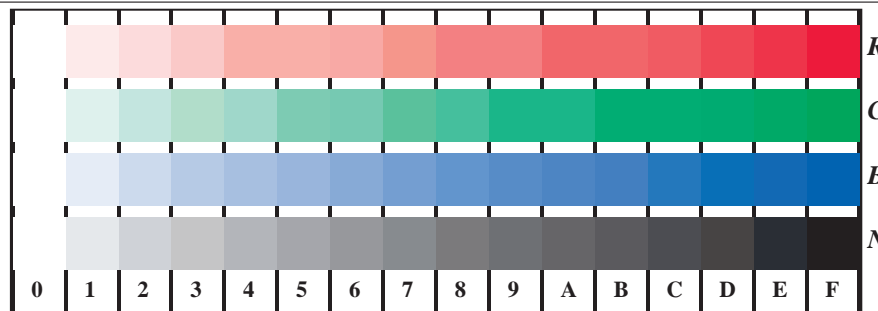


TS850-5, Fig. D2Wde: rejillas radial W-Re; W-Ge; W-Be; W-N; PS operator $rgb \rightarrow rgb_{de}$ setrgbcolor

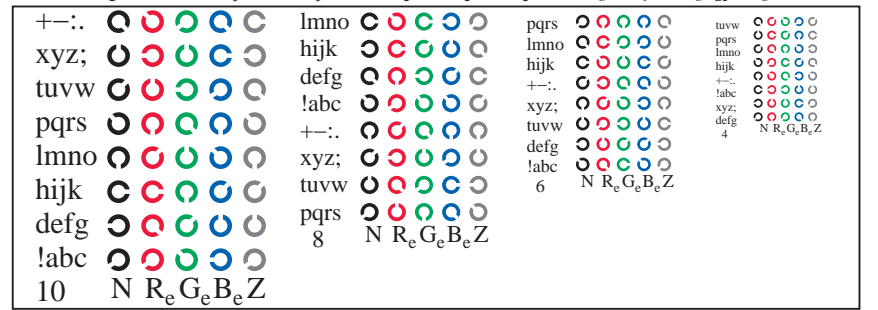


TS850-7 Fig. D3Wde: CIE 14 colores del test y 2 + 16 pasos de gris (sf); $rgb/cmy0 \rightarrow rgh_{+}$, setrgbcolor

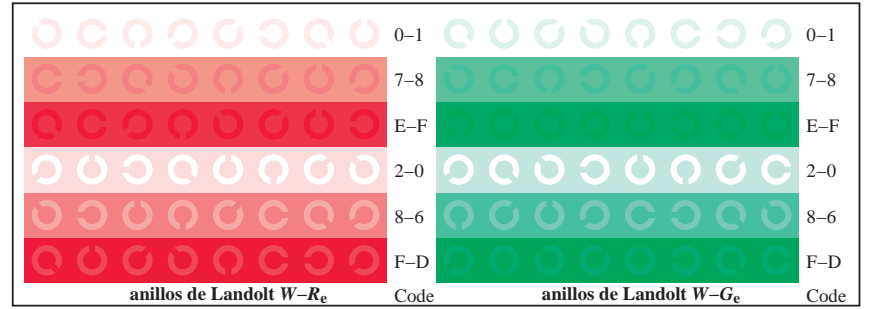
gráfico TS85; 4(ISO/IEC 15775 + ISO/IEC TR 24705)
test cromático gráfico *RGB*, 3D=1, de=1, *cmyk**



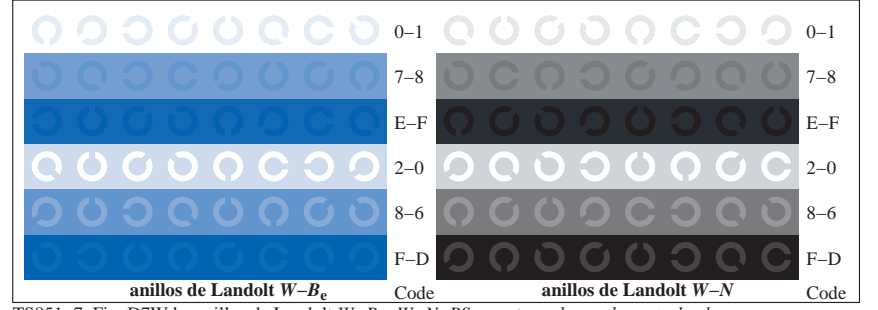
TS851-1, Fig. D4Wde: 16 equidistante pasos $W-R_E$; $W-G_E$; $W-B_E$; $W-N$; $rgb/cmy0 \rightarrow rgb_{de}$ setrgbcolor



TS851-3, Fig. D5Wde: código y Landolt annilosN; R_E ; G_E ; B_E ; Z ; PS operator $rgb \rightarrow rgb_{de}$ setrgbcolor



TS851-5, Fig. D6Wde: anillos de Landolt $W-R_E$; $W-G_E$; PS operator $rgb \rightarrow rgb_{de}$ setrgbcolor



TS851-7 Fig. D7Wde: anillos de Landolt $W-B_e$; $W-N$: PS operator $rgh \rightarrow rgh_+$, setrgbcolor

Entrada: $rgb/cm\gamma k \rightarrow rgb_{de}$
Salida: 3D-linealización a $cm\gamma k^*_{de}$





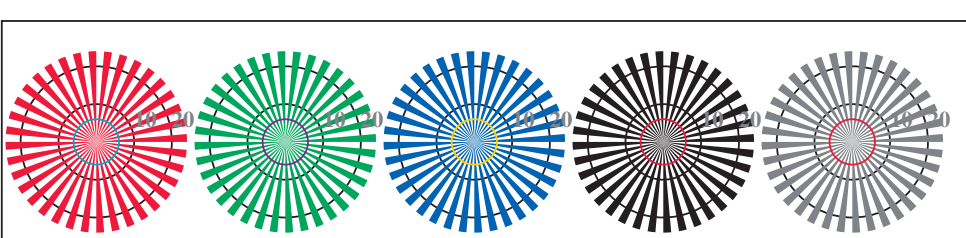
<http://130.149.60.45/~farbm/TS85/TS85L0FA.TXT> / .PS; 3D-linealización
F: 3D-linealización TS85/TS85LS30FA.DAT en archivo (F), página 5/22



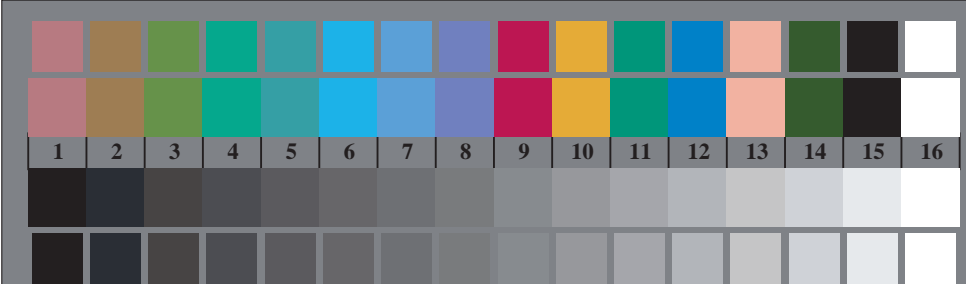
TUB matrícula: 20150701-TS85/TS85L0FA.TXT /PS
aplicación para la medida salida en la impresión offsee

TUB material: code=rha4ta
iōncmyn6* (CMYK)

vea archivos semejantes: <http://130.149.60.45/~farbmefrik/TS85/TS85.HTM>
información técnica: <http://www.ps.bam.de> o <http://130.149.60.45/~farbmefrikk>

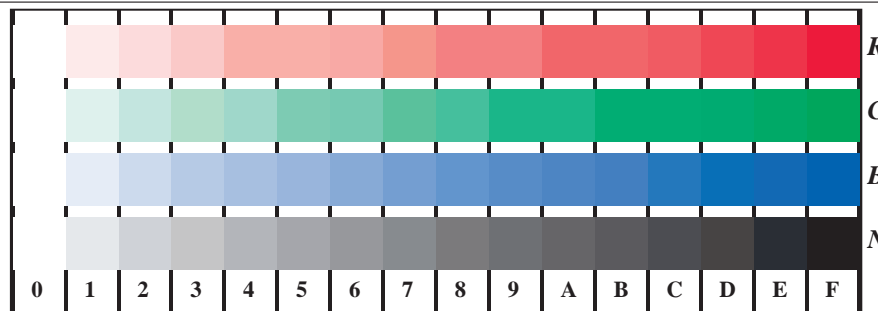


TS850-5, Fig. D2Wde: rejillas radial W-Re; W-Ge; W-Be; W-N; PS operator $rgb \rightarrow rgb_{de}$ setrgbcolor



TS850-7 Fig. D3Wde: CIE 14 colores del test y 2 + 16 pasos de gris (sf); $rgb/cmy0 \rightarrow rgh_{+}$, setrgbcolor

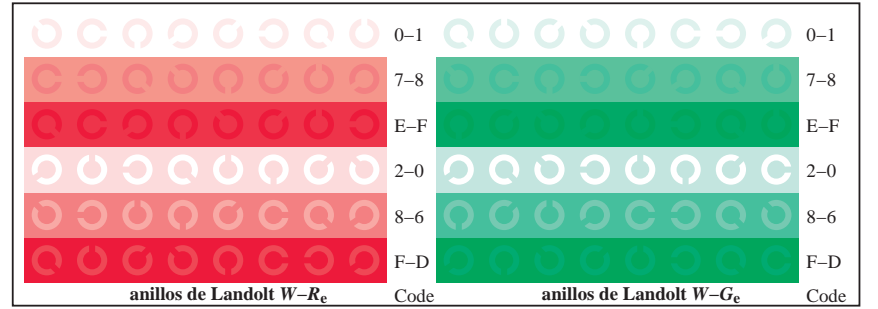
gráfico TS85; 4(ISO/IEC 15775 + ISO/IEC TR 24705)
test cromático gráfico *RGB*, 3D=1, de=1, *cmyk**



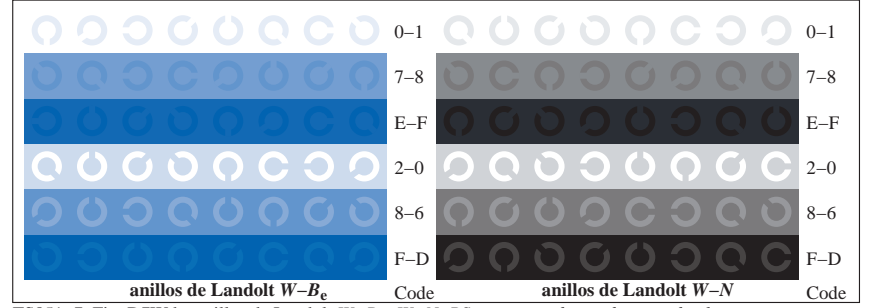
TS851-1, Fig. D4Wde: 16 equidistant pasos $W-R_E$; $W-G_E$; $W-B_E$; $W-N$; $rgb/cm\text{y}0-0 > rgb_{de}$ setrgbcolor

+:-.	Q	O	O	O	O	C	lmno	O	O	O	O	O	pqrs	O	O	O	O	O	tuvw	O	O	O	O
xyz;	O	O	O	O	O	C	hijk	O	C	O	O	O	lmno	O	C	O	O	O	pqrs	O	C	O	O
tuvw	O	O	O	O	O	C	defg	O	O	O	O	O	hijk	O	O	O	O	O	lmno	O	O	O	O
pqrs	O	O	O	O	O	C	!abc	O	O	O	O	O	+-:.	O	O	O	O	O	hijk	O	O	O	O
lmno	O	O	O	O	O	C	xyz;	O	O	O	O	O	xyz;	O	O	O	O	O	+-:.	O	O	O	O
hijk	C	O	O	O	O	C	tuvw	O	O	O	O	O	tuvw	O	O	O	O	O	labc	O	O	O	O
defg	O	O	O	O	O	C	tuvw	O	O	O	O	O	defg	O	O	O	O	O	xyz;	O	O	O	O
!abc	O	O	O	O	O	C	tuvw	O	O	O	O	O	!abc	O	O	C	O	O	defg	O	O	O	O
10	N	R _e	G _e	B _e	Z								6	N	R _e	G _e	B _e	Z					
													8	N	R _e	G _e	B _e	Z					

TS851-3, Fig. D5Wde: codigo y Landolt annilosN; Re; Ge; Be; Z; PS operator $rgb \rightarrow rgb_{de}$ setrgbcolor



TS851-5, Fig. D6Wde: anillos de Landolt $W-R_E$; $W-G_E$; PS operator $rgb \rightarrow rgb_{de}$ setrgbcolor



TS851-7 Fig. D7Wde: anillos de Landolt $W-B_e$; $W-N$: PS operator $rgh \rightarrow rgh_+$, setrgbcolor

Entrada: $rgb/cm\gamma k \rightarrow rgb_{de}$
Salida: 3D-linealización a $cm\gamma k^*_{de}$





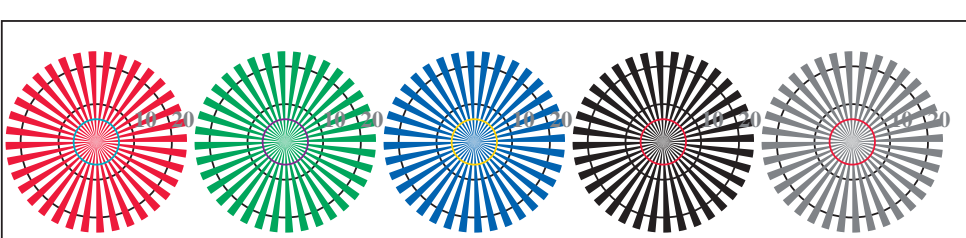
<http://130.149.60.45/~farbm/TS85/TS85L0FA.TXT> / .PS; 3D-linealización
F: 3D-linealización TS85/TS85LS30FA.DAT en archivo (F), página 6/22



TUB matrícula: 20150701-TS85/TS85L0FA.TXT/.PSS
aplicación para la medida salida en la impresión offset

TUB material: code=rha4ta
iōncmyn6* (CMYK)

vea archivos semejantes; <http://130.149.60.45/~farbmefrik/TS85/TS85.HTM>.
información técnica: <http://www.ps.bam.de> o <http://130.149.60.45/~farbmefrikk>

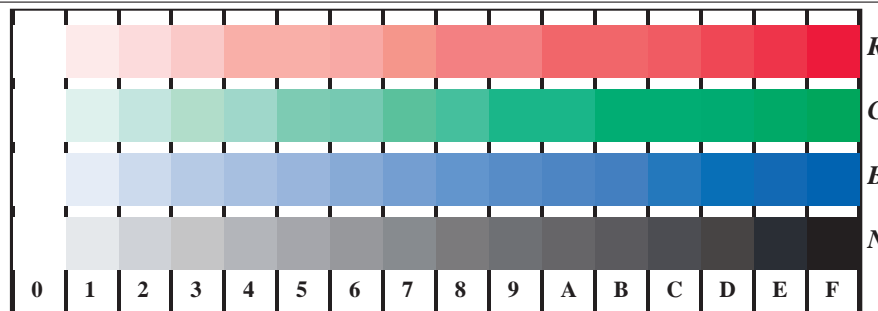


TS850-5, Fig. D2Wde: rejillas radial W-Re; W-Ge; W-Be; W-N; PS operator $rgb \rightarrow rgb_{de}$ setrgbcolor



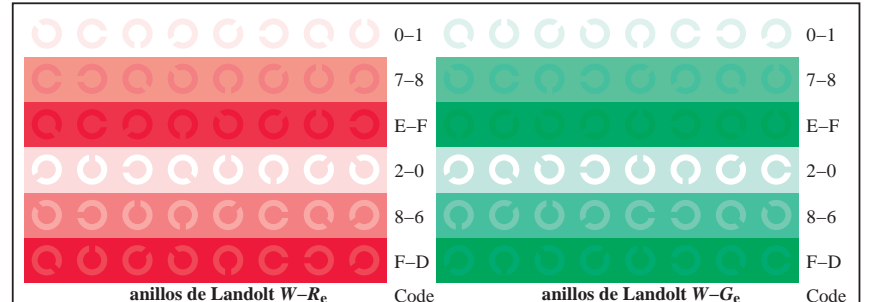
TS850-7 Fig. D3Wde: CIE 14 colores del test y 2 + 16 pasos de gris (sf); $rgb/cmy0 \rightarrow rgh_{+}$, setrgbcolor

gráfico TS85; 4(ISO/IEC 15775 + ISO/IEC TR 24705)
test cromático gráfico *RGB*, 3D=1, de=1, *cmyk**

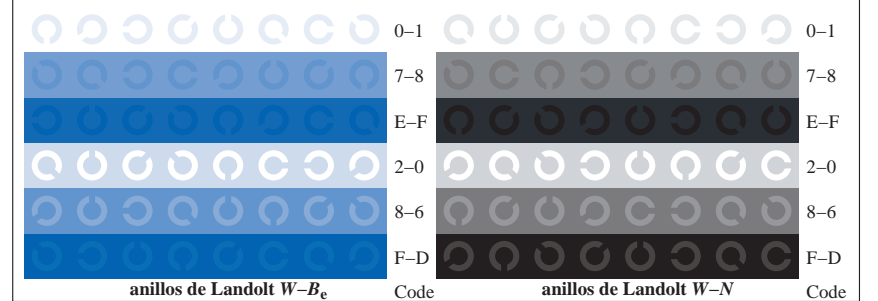


TS851-1, Fig. D4Wde: 16 equidistant pasos $W-R_E$; $W-G_E$; $W-B_E$; $W-N$; $rgb/cmy0 \rightarrow rgb_{de}$ setrgbcolor

TS851-3, Fig. D5Wde: codigo y Landolt annilosN; R_E ; G_E ; B_E ; Z ; PS operator $rgb \rightarrow rgb_{de}$ setrgbcolor



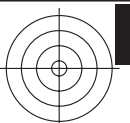
TS851-5, Fig. D6Wde: anillos de Landolt $W-Re$; $W-Ge$; PS operator $rgb \rightarrow rgb_{de}$ setrgbcolor



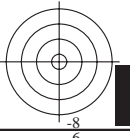
TS851-7 Fig. D7Wde: anillos de Landolt $W-B_e$; $W-N$: PS operator $rgh \rightarrow rgh_+$, setrgbcolor

Entrada: $rgb/cmyk \rightarrow rgb_{de}$
Salida: 3D-linealización a $cmyk^*_{de}$





vea archivos semejantes: http://130.149.60.45/~farbmertik/TS85/TS85.HTML
información técnica: http://www.ps.bam.de o http://130.149.60.45/~farbmertik



2-113630-F0

gráfico TS85; 4(ISO/IEC 15775 + ISO/IEC TR 24705)
colores y diferencia en color, ΔE^* , 3D=1, de=1, cmyk*

entrada: $rgb/cmyk \rightarrow rgb_{de}$
salida: 3D-linealización a $cmyk^*_{de}$



2-113630-F0

C

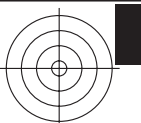
M

Y

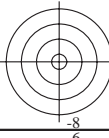
O

L

V



vea archivos semejantes: http://130.149.60.45/~farbmertik/TS85/TS85.HTML
información técnica: http://www.ps.bam.de o http://130.149.60.45/~farbmertik



2-113730-F0

gráfico TS85; 4(ISO/IEC 15775 + ISO/IEC TR 24705)
colores y diferencia en color, ΔE^* , 3D=1, de=1, cmyk*

entrada: $rgb/cmyk \rightarrow rgb_{de}$
salida: 3D-linealización a $cmyk^*_{de}$



2-113730-F0

C

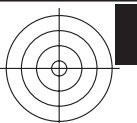
M

Y

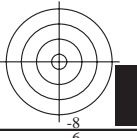
O

L

V



vea archivos semejantes: http://130.149.60.45/~farbmertik/TS85/TS85.HTML
información técnica: http://www.ps.bam.de o http://130.149.60.45/~farbmertik



2-113830-F0

gráfico TS85; 4(ISO/IEC 15775 + ISO/IEC TR 24705)
colores y diferencia en color, ΔE^* , 3D=1, de=1, cmyk*

entrada: $rgb/cmyk \rightarrow rgb_{de}$
salida: 3D-linealización a $cmyk^*_{de}$

2-113830-F0

C

M

Y

O

L

V

v
L
o
Y
M
C
v

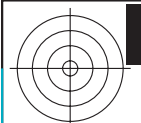
TUB matrícula: 20150701-TS85/TS85L0FA.TXT /PS
aplicación para la medida salida en la impresión offset, separación cmyn6* (CMYK)

TUB material: code=rha4ta
TUB material: code=rha4ta
c
m
y
o
l
o
v
c
v

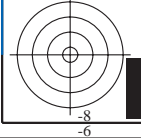


v
L
o
Y
M
C
v

http://130.149.60.45/~farbmertik/TS85/TS85L0FA.TXT /PS; 3D-linealización
F: 3D-linealización TS85/TS85LS30FA.DAT en archivo (F), página 10/22



vea archivos semejantes: http://130.149.60.45/~farbmertik/TS85/TS85.HTML
información técnica: http://www.ps.bam.de o http://130.149.60.45/~farbmertik



2-113930-F0



gráfico TS85; 4(ISO/IEC 15775 + ISO/IEC TR 24705)
colores y diferencia en color, ΔE^* , 3D=1, de=1, cmyk*

entrada: $rgb/cmyk \rightarrow rgb_{de}$
salida: 3D-linealización a $cmyk^*_{de}$



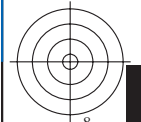
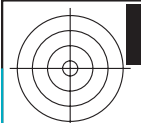
v
L
o
Y
M
C
v



v L o Y M C
http://130.149.60.45/~farbmertik/TS85/TS85L0FA.TXT /PS; 3D-linealización
F: 3D-linealización TS85/TS85LS30FA.DAT en archivo (F), página 11/22



vea archivos semejantes: http://130.149.60.45/~farbmertik/TS85/TS85.HTML
información técnica: http://www.ps.bam.de o http://130.149.60.45/~farbmertik



2-1131030-F0
2-1131030-F0

gráfico TS85; 4(ISO/IEC 15775 + ISO/IEC TR 24705)
colores y diferencia en color, ΔE^* , 3D=1, de=1, cmyk*

entrada: $rgb/cmyk \rightarrow rgb_{de}$
salida: 3D-linealización a $cmyk^*_{de}$



v
L
o
Y
M
C
v

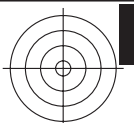
TUB matrícula: 20150701-TS85/TS85L0FA.TXT /PS
aplicación para la medida salida en la impresión offset, separación cmyn6* (CMYK)

TUB material: code=rha4ta
TUB material: code=rha4ta
c
m
y
o
l
o
v
c
v

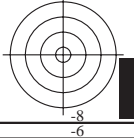


v
L
o
Y
M
C
v

http://130.149.60.45/~farbmertik/TS85/TS85L0FA.TXT /PS; 3D-linealización
F: 3D-linealización TS85/TS85LS30FA.DAT en archivo (F), página 12/22



vea archivos semejantes: http://130.149.60.45/~farbmertik/TS85/TS85.HTML
información técnica: http://www.ps.bam.de o http://130.149.60.45/~farbmertik



2-1131130-F0

2-1131130-F0

gráfico TS85; 4(ISO/IEC 15775 + ISO/IEC TR 24705)
colores y diferencia en color, ΔE^* , 3D=1, de=1, cmyk*

entrada: $rgb/cmyk \rightarrow rgb_{de}$
salida: 3D-linealización a $cmyk^*_{de}$



v
L
o
Y
M
C
v

TUB matrícula: 20150701-TS85/TS85L0FA.TXT /PS
aplicación para la medida salida en la impresión offset, separación cmyn6* (CMYK)

TUB material: code=rha4ta
TUB material: code=rha4ta
c
m
y
o
l
o
v
c
v

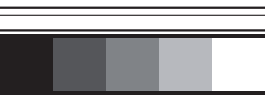
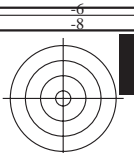
c
m
y
o
l
o
v
c
v

v
L
o
Y
M
C
v

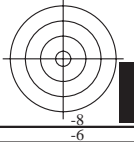
http://130.149.60.45/~farbmertik/TS85/TS85L0FA.TXT /PS; 3D-linealización
F: 3D-linealización TS85/TS85LS30FA.DAT en archivo (F), página 13/22

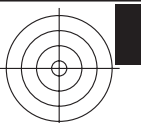
gráfico TS85; 4(ISO/IEC 15775 + ISO/IEC TR 24705)
colores y diferencia en color, ΔE^* , 3D=1, de=1, cmyk*

entrada: $rgb/cmyk \rightarrow rgb_{de}$
salida: 3D-linealización a $cmyk^*_{de}$

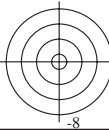


vea archivos semejantes: http://130.149.60.45/~farbmertik/TS85/TS85.HTML
información técnica: http://www.ps.bam.de o http://130.149.60.45/~farbmertik





vea archivos semejantes: http://130.149.60.45/~farbmertik/TS85/TS85.HTML
información técnica: http://www.ps.bam.de o http://130.149.60.45/~farbmertik

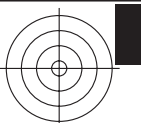


2-1131330-F0

gráfico TS85; 4(ISO/IEC 15775 + ISO/IEC TR 24705)
colores y diferencia en color, ΔE^* , 3D=1, de=1, cmyk*

entrada: $rgb/cmyk \rightarrow rgb_{de}$
salida: 3D-linealización a $cmyk^*_{de}$





vea archivos semejantes: http://130.149.60.45/~farbmertik/TS85/TS85.HTML
información técnica: http://www.ps.bam.de o http://130.149.60.45/~farbmertik



2-1131430-F0

gráfico TS85; 4(ISO/IEC 15775 + ISO/IEC TR 24705)
colores y diferencia en color, ΔE^* , 3D=1, de=1, cmyk*

entrada: $rgb/cmyk \rightarrow rgb_{de}$
salida: 3D-linealización a $cmyk^*_{de}$



-6
-8

-6
-8

v
L
o
Y
M
C
v

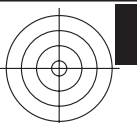
TUB matrícula: 20150701-TS85/TS85L0FA.TXT /PS
aplicación para la medida salida en la impresión offset, separación cmyn6* (CMYK)

TUB material: code=rha4ta
TUB material: code=rha4ta
c
m
y
o
l
o
v
c
v

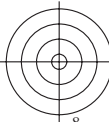
c
m
y
o
l
o
v
c
v

v
L
o
Y
M
C
v

http://130.149.60.45/~farbmertik/TS85/TS85L0FA.TXT /PS; 3D-linealización
F: 3D-linealización TS85/TS85LS30FA.DAT en archivo (F), página 16/22



vea archivos semejantes: http://130.149.60.45/~farbmertik/TS85/TS85.HTML
información técnica: http://www.ps.bam.de o http://130.149.60.45/~farbmertik



2-1131530-F0

gráfico TS85; 4(ISO/IEC 15775 + ISO/IEC TR 24705)
colores y diferencia en color, ΔE^* , 3D=1, de=1, cmyk*

entrada: $rgb/cmyk \rightarrow rgb_{de}$
salida: 3D-linealización a $cmyk^*_{de}$



2-1131530-F0

C

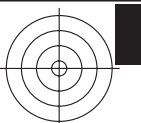
M

Y

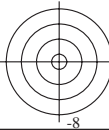
O

L

V



vea archivos semejantes: http://130.149.60.45/~farbmertik/TS85/TS85.HTML
información técnica: http://www.ps.bam.de o http://130.149.60.45/~farbmertik



2-1131630-F0

gráfico TS85; 4(ISO/IEC 15775 + ISO/IEC TR 24705)
colores y diferencia en color, ΔE^* , 3D=1, de=1, cmyk*

entrada: $rgb/cmyk \rightarrow rgb_{de}$
salida: 3D-linealización a $cmyk^*_{de}$



2-1131630-F0

C

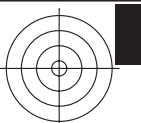
M

Y

O

L

V



vea archivos semejantes: http://130.149.60.45/~farbmertik/TS85/TS85.HTML
información técnica: http://www.ps.bam.de o http://130.149.60.45/~farbmertik



2-1131730-F0

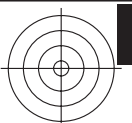
gráfico TS85; 4(ISO/IEC 15775 + ISO/IEC TR 24705)
colores y diferencia en color, ΔE^* , 3D=1, de=1, cmyk*

entrada: $rgb/cmyk \rightarrow rgb_{de}$
salida: 3D-linealización a $cmyk^*_{de}$

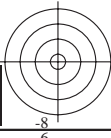
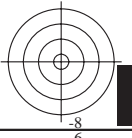


TUB matrícula: 20150701-TS85/TS85L0FA.TXT /PS
TUB material: code=rha4ta
aplicación para la medida salida en la impresión offset, separación cmyn6* (CMYK)
información técnica: <http://www.ps.bam.de> o <http://130.149.60.45/~farbmetrik>

v L o Y M C
http://130.149.60.45/~farbmetrik/TS85/TS85L0FA.TXT /PS; 3D-linealización
F: 3D-linealización TS85/TS85LS30FA.DAT en archivo (F), página 19/22



vea archivos semejantes: <http://130.149.60.45/~farbmetrik/TS85/TS85.HTML>
información técnica: <http://www.ps.bam.de> o <http://130.149.60.45/~farbmetrik>

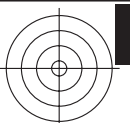


2-1131830-F0

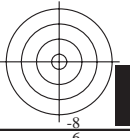
gráfico TS85; 4(ISO/IEC 15775 + ISO/IEC TR 24705)
colores y diferencia en color, ΔE^* , 3D=1, de=1, cmyk*

entrada: $rgb/cmyk \rightarrow rgb_{de}$
salida: 3D-linealización a $cmyk^*_{de}$





vea archivos semejantes: http://130.149.60.45/~farbmertik/TS85/TS85.HTML
información técnica: http://www.ps.bam.de o http://130.149.60.45/~farbmertik



2-1131930-F0

gráfico TS85; 4(ISO/IEC 15775 + ISO/IEC TR 24705)
colores y diferencia en color, ΔE^* , 3D=1, de=1, cmyk*

entrada: $rgb/cmyk \rightarrow rgb_{de}$
salida: 3D-linealización a $cmyk^*_{de}$

C

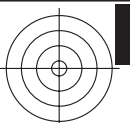
M

Y

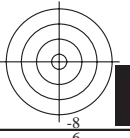
O

L

V



vea archivos semejantes: http://130.149.60.45/~farbmertik/TS85/TS85.HTML
información técnica: http://www.ps.bam.de o http://130.149.60.45/~farbmertik

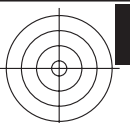


2-1132030-F0

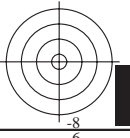
gráfico TS85; 4(ISO/IEC 15775 + ISO/IEC TR 24705)
colores y diferencia en color, ΔE^* , 3D=1, de=1, cmyk*

entrada: $rgb/cmyk \rightarrow rgb_{de}$
salida: 3D-linealización a $cmyk^*_{de}$





vea archivos semejantes: http://130.149.60.45/~farbmertik/TS85/TS85.HTML
información técnica: http://www.ps.bam.de o http://130.149.60.45/~farbmertik



2-1132130-F0

gráfico TS85; 4(ISO/IEC 15775 + ISO/IEC TR 24705)
colores y diferencia en color, ΔE^* , 3D=1, de=1, cmyk*

entrada: $rgb/cmyk \rightarrow rgb_{de}$
salida: 3D-linealización a $cmyk^*_{de}$



2-1132130-F0

C

M

Y

O

L

V